



## คุณลักษณะการถ่ายเทความร้อนของท่อความร้อนแบบสัน

นำพน พิพัฒน์ไพบูลย์<sup>1</sup>

มหาวิทยาลัยเทคโนโลยีราชมงคลล้านนา วิทยาเขตสกลนคร ต.พังโคน อ.พังโคน จ.สกลนคร 47160

สัมพันธ์ ฤทธิเดช<sup>2</sup>

มหาวิทยาลัยมหาสารคาม ต.ขามเรียง อ.กันทรลักษ์ จ.มหาสารคาม 44150

และ รัชฎา ประเมษฐานุวัฒน์<sup>3</sup>

มหาวิทยาลัยเทคโนโลยีพระจอมเกล้าพระนครเหนือ วิทยาเขตปราจีนบูรี ต.เนินหออม อ.เมือง

จ.ปราจีนบูรี 25230

### บทคัดย่อ

บทความนี้ทำการศึกษาคุณลักษณะการถ่ายเทความร้อนของท่อความร้อนแบบสัน (OHPs) ซึ่งท่อความร้อนแบบสันนั้นแบ่งออกเป็น 3 ชนิดดังนี้ ท่อความร้อนแบบสันปลายปิด (CEOHP), ท่อความร้อนแบบลั่นวงรอบ (CLOHP) และ ท่อความร้อนแบบลั่นวงรอบที่ติดตั้งว้าล์วันกลับ (CLOHP/CV) ข้อมูลที่ใช้ในการศึกษาและวิเคราะห์ เป็นข้อมูลที่ได้จากการทดลองงานวิจัยในอดีตที่ผ่านมา คุณลักษณะการถ่ายเทความร้อนของท่อความร้อนแบบสันทั้ง 3 ชนิดถูกนำมาเปรียบเทียบและวิเคราะห์ถึงการทำงาน โดยทำการเปรียบเทียบอัตราการถ่ายเทความร้อนต่อหน่วยพื้นที่ หรือ พลังความร้อน ( $W/m^2$ ) ที่สภาวะการทำงานในช่วงอุณหภูมิปกติโดยเปรียบเทียบผลของมุมเอียงการทำงาน และสารทำงานต่างๆ จากการศึกษาเปรียบเทียบผลการทดลองท่อความร้อนแบบสันในอดีต โดยเปรียบเทียบเส้นผ่านศูนย์กลางภายในท่อ (D) พบว่า ขนาดเส้นผ่านศูนย์กลางภายในท่อที่ใกล้เคียงกับการคำนวณทางทฤษฎีจะให้ประสิทธิภาพในการถ่ายเทความร้อนสูงสุด ความยาวที่เท่ากันทั้ง 3 ส่วน ( $L_1$ ,  $L_2$  และ  $L_3$ ) ที่ลั่นลงส่งผลให้การถ่ายเทความร้อนเพิ่มขึ้น เพราะระยะทางในการถ่ายเทความร้อนสั้น การสูญเสียระหว่างการถ่ายเทความร้อนมีน้อย การทำงานของท่อความร้อนแบบสันที่สภาวะการทำงานในแนวระดับพบว่า ท่อความร้อนแบบ CLOHP/CV สามารถถ่ายเทความร้อนได้ดีที่สุดในจำนวนท่อความร้อนแบบสันทั้งสามชนิด อย่างไรก็ตามผลของการทำงานที่มีต่อคุณลักษณะการถ่ายเทความร้อนของท่อความร้อนแบบสันพบว่า เมื่ออุณหภูมิการทำงานเพิ่มขึ้นพบว่าอัตราส่วนการถ่ายเทความร้อนต่อหน่วยพื้นที่ ที่เพิ่มขึ้นสอดคล้องกับทฤษฎีการถ่ายเทความร้อน

คำสำคัญ : การถ่ายเทความร้อน / ท่อความร้อนแบบสัน / สมรรถนะทางความร้อน

\* Corresponding author E-mail: pipatpalboon@hotmail.com

<sup>1</sup> อาจารย์ สาขาวิชาศึกกรรมเครื่องกล คณะอุตสาหกรรมและเทคโนโลยี มหาวิทยาลัยราชมงคลล้านนา

<sup>2</sup> รองศาสตราจารย์ ภาควิชาศึกกรรมเครื่องกล คณะศึกกรรมศาสตร์ มหาวิทยาลัยราชมงคลล้านนา

<sup>3</sup> อาจารย์ ภาควิชาเทคโนโลยีการออกแบบและผลิตเครื่องจักรกล คณะเทคโนโลยีและการจัดการอุตสาหกรรมเกษตร มหาวิทยาลัยราชมงคลล้านนา

## Heat Transfer Characteristics of Oscillating Heat Pipes

**Namphon Pipatpaiboon<sup>1\*</sup>**

Rajamangala University of Technology Isan, Sakon Nakhon Campus, Phangkhan, Sakon Nakhon 47160

**Sampan Rittidech<sup>2</sup>**

Mahasarakham University, Khamriang, Kantarawichai, Mahasarakham 44150

**and Thanya Paramatthanuwat<sup>3</sup>**

King Mongkut's University of Technology North Bangkok, Prachinburi Campus, Noenhom,

Mueang, Prachinburi 25230

### Abstract

This article investigates the heat flux characteristics of oscillating heat pipes (OHPs). The oscillating heat pipes have 3 types as follows: closed end oscillating heat pipe (CEOHP), closed looped oscillating heat pipe (CLOHP) and closed looped oscillating heat pipe with check valves (CLOHP/CV). The analysis was performed on the existing experimental data in the literature. The heat transfer characteristics of all types of oscillating heat pipes were compared and analyzed. The OHPs were compared in terms of the heat flux ( $\text{W/m}^2$ ) at normal operation; the effects of the angle of inclination and the use of different working fluids were evaluated. Based on the analysis results, it was found that the inner diameter ( $D_i$ ) should be closed to the theoretically recommended value if the highest heat transfer effectiveness is to obtain. The decreased section lengths ( $L_e$ ,  $L_a$  and  $L_c$ ) of OHPs increase the heat flux because the distance for heat transfer is shorter; heat loss would also be less. The horizontal operation mode of CLOHP/CV exhibits maximum heat flux. The working fluids effect on the heat flux is significant, which is in accordance to the heat transfer theory.

**Keywords :** Heat flux / Oscillating heat pipe / Thermal performance

\* Corresponding author E-mail: [pipatpaiboon@hotmail.com](mailto:pipatpaiboon@hotmail.com)

<sup>1</sup> Lecturer, Department of Mechanical Engineering, Faculty of Industry and Technology.

<sup>2</sup> Associate Professor, Department of Mechanical Engineering, Faculty of Engineering.

<sup>3</sup> Lecturer, Department of Design and Production Technology of Agricultural Industrial Machinery, Faculty of Technology and Management.

## 1. บทนำ

บทความนี้นำเสนอคุณลักษณะการถ่ายเทความร้อนของท่อความร้อนแบบสั่น 3 ชนิด เป็นการวิเคราะห์ข้อมูลจากการทดลองจากงานวิจัยในอดีต เกี่ยวกับสมรรถนะทางความร้อน และกลไกการทำงานภายใต้ของท่อความร้อนแบบสั่นทั้ง 3 ชนิด ในอดีตที่ผ่านมา มีงานวิจัยที่กล่าวถึงท่อความร้อนแบบสั่น (OHPs) เป็นจำนวนมาก แต่เป็นการแยกย่อยทำการศึกษาแยกกอกเป็น 3 ชนิดหลัก คือ ท่อความร้อนแบบสั่นปลายปิด (Closed end oscillating heat pipe; CEOHP), ท่อความร้อนแบบสั่นวงรอบ (Closed loop oscillating heat pipe; CLOHP) และท่อความร้อนแบบสั่นวงรอบที่ติดตั้งวาล์ว กันกลับ (Closed loop oscillating heat pipe with check valves; CLOHP/CV) ซึ่งการศึกษาท่อความร้อนแบบสั่นทั้งหมดที่กล่าวมานั้น จะเป็นการศึกษาเชิงเปรียบเทียบคุณลักษณะการถ่ายเทความร้อนของท่อความร้อนแต่ละชนิด โดยการเปรียบเทียบด้วยตัวแปรเดียว กัน เช่น ขนาดเส้นผ่าศูนย์กลางภายในท่อ (D), ความยาวส่วนทำระเหย ( $L_e$ ), สารทำงาน (Working fluids), มุมเอียงการทำงาน (Angle of inclination) และตัวแปรอื่นๆ ดังนั้น บทความนี้ จึงรวมผลการศึกษาจากบทความวิจัยในอดีต ที่ได้รับการยอมรับ โดยเฉพาะการศึกษาวิจัยของท่อความร้อนแต่ละชนิดที่แยกย่อยอย่างมาเปรียบเทียบ ซึ่งให้เห็นถึงคุณลักษณะการถ่ายเทความร้อนและสมรรถนะทางความร้อนของท่อความร้อนแบบสั่นชนิดต่างๆ ได้ชัดเจนมากยิ่งขึ้น เพื่อเป็นประโยชน์ในการศึกษาวิจัย และการประยุกต์ใช้งานท่อความร้อนในอนาคต เช่น การนำไปประยุกต์ใช้งานในการถ่ายเทความร้อนอุตสาหกรรม การระบายความร้อนในอุปกรณ์อิเล็กทรอนิกส์ การนำไปประยุกต์ใช้งานสำหรับรับความร้อนจากพลังงานแสงอาทิตย์เพื่อใช้ในกระบวนการการทำน้ำร้อน และมีการนำท่อชนิดอื่นหรืออุปกรณ์ชนิดอื่นมาทดแทน แต่ยังคงอาศัยหลักการทำงานและหลักการถ่ายเทความร้อนของท่อความร้อน [1], [2]

## 2. ท่อความร้อนแบบสั่น

### (Oscillating heat pipe; OHPs)

ท่อความร้อนแบบสั่น (OHPs) เป็นอุปกรณ์สำหรับส่งถ่ายความร้อน หรือถ่ายเทความร้อน จากแหล่งความร้อนไปยังแหล่งรับความร้อน โดยท่อความร้อนแบบสั่นสามารถส่งถ่ายความร้อนได้เรื่อยโดยไม่ต้องการแหล่งพลังงานป้อนให้กับท่อความร้อนแบบสั่น เพื่อให้ท่อสามารถถ่ายเทความร้อนได้โดยไม่อาศัยพลังงาน เช่น พลังงานไฟฟ้าป้อนให้ระบบของท่อความร้อนแบบสั่นนั้น เพราะท่อความร้อนแบบสั่นจะประกอนไปด้วย 3 ส่วนหลัก แสดงรายละเอียดในรูปที่ 1. คือ ส่วนทำระเหย (Evaporator section) มีตำแหน่งการใช้งานอยู่ในตำแหน่งที่远离ท่อแหล่งความร้อน (Heat source) ส่วนกันความร้อน (Adiabatic section) และส่วนควบแน่น (condenser section) มีตำแหน่งการใช้งานอยู่ในส่วนที่ต้องการรับความร้อน (Heat sink) โดยท่อความร้อนแบบสั่นจะสามารถส่งถ่ายความร้อนได้ด้วยตัวเองทันทีเมื่อส่วนทำระเหยอยู่ในแหล่งความร้อน และสารทำงานภายในท่อจะเกิดการเดือด และการเคลื่อนที่ขึ้นลงอย่างรวดเร็วไปมาระหว่างแหล่งความร้อนและแหล่งรับความร้อน ซึ่งความร้อนจะถูกถ่ายเทออกไปทางตำแหน่งแหล่งรับความร้อนโดยจะมีของเหลวจำพวกน้ำ ของเหลวอื่นๆ หรือ อากาศ เป็นต้น มารับความร้อนออกไปจากผิวท่อเพื่อนำความร้อนไปใช้งาน โดยท่อความร้อนแบบสั่นนี้จะเป็นท่อขนาดเล็ก (Capillary tube) ซึ่งคำนวณได้จากสมการที่ (1) และท่อความร้อนแบบสั่นจะเป็นท่อระบบปิด บรรจุด้วยสารทำงานและเป็นสูญญากาศ เพื่อตัดป้องกันการซึมของสารทำงานที่บรรจุอยู่ภายในท่อ มีจุดเดือดต่ำลง ช่วยให้การเดือดของสารทำงานเกิดขึ้นได้ง่ายและรวดเร็ว [1]

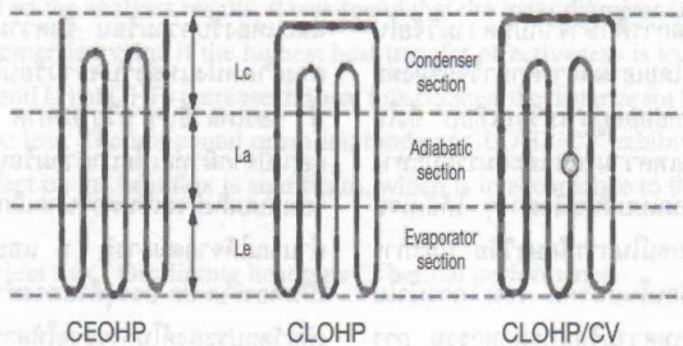
$$D_i \leq 2\sqrt{\frac{\sigma}{\rho g}} \quad (1)$$

ถ้า  $D_i < D_m$  แรงดึงดูดของสารทำงานจะส่งผลให้เกิดแท่งของเหลว (Liquid plugs) กระจายอยู่โดยทั่วตามแนวแกนท่อความร้อนแบบสั่น

ถ้า  $D_i > D_m$  แรงดึงดูดของสารทำงานจะลดลง และสารทำงานจะรวมตัวกันที่ด้านล่างของห้องแรงโน้มถ่วงของโลก และไม่เกิดการเคลื่อนที่แบบสั่นของสารทำงานภายในห้อง ซึ่งสรุปได้ว่าท่อความร้อนได้ ที่ออกแบบด้วยวิธีการคำนวณจากสมการ (1) และใช้สมบัติของสารทำงานที่อุณหภูมิทำงาน (ผลกระทบของอุณหภูมิส่วนทำระเหยกับส่วนควบคุมการดักจับ) ที่จะนำท่อความร้อนไปใช้งานนั้น หากเลือกใช้ห้องที่มีขนาดน้อยกว่าหรือเท่ากับขนาดที่คำนวณได้จากสมการที่ (1) จะเรียกว่าชุดห้องความร้อนแบบสั่น แต่ในกรณีที่เลือกใช้งานขนาดเล็กกว่าห้องสูญญากาศที่มีขนาดมากกว่าค่าที่คำนวณได้ ห้องความร้อนนั้นๆ จะไม่จัดตั้งในกลุ่มหรือชนิดของห้องความร้อนแบบสั่น

ลักษณะการทำงานของห้องความร้อนแบบสั่นเหมือนกับการนำห้องความร้อนสองสถานะ (Two phase closed thermosyphon) มาเชื่อมต่อกันหลายๆ อัน [4], [5] ห้องความร้อนแบบสั่นสามารถแบ่งกลุ่มหลักเป็น 3 ชนิด [3] ดังแสดงในรูปที่ 1 แบบแรกห้องความร้อนแบบสั่นปลายปิด (Closed end oscillating heat pipe; CEOHP) มี

ลักษณะเป็นห้องโลหะขนาดเล็กขนาดกลับไปกลับมาปลายท่อทั้งสองด้านไม่เชื่อมต่อกัน แบบที่สองห้องท่อความร้อนแบบสั่นวงรอบ (Closed loop oscillating heat pipe; CLOHP) มีลักษณะเป็นห้องโลหะขนาดเล็กขนาดกลับไปกลับมาปลายท่อทั้งสองด้านเชื่อมต่อกันเป็นวงรอบ และแบบที่สามห้องท่อความร้อนแบบสั่นวงรอบที่ติดตั้งวาล์วกันกลับ (Closed loop oscillating heat pipe with check valves; CLOHP/CV) โดยมีลักษณะเป็นห้องโลหะขนาดเล็ก ขนาดกลับไปกลับมาปลายท่อทั้งสองด้านเชื่อมต่อกันเป็นวงรอบ และติดตั้งวาล์วกันกลับ (Check valves) ไว้ตรงตำแหน่งส่วนกันความร้อน สำหรับควบคุมทิศทางการไหลของสารทำงานภายในห้อง ขณะท่อทำงานให้มีทิศทางการไหลไปในทิศทางเดียวกัน และสาเหตุในการติดตั้งวาล์วกันกลับไว้ตรงตำแหน่งส่วนกันความร้อนนั้น มีสาเหตุ คือ เป็นส่วนที่มีการเคลื่อนที่และถ่ายเทความร้อนของสารทำงานภายในห้องเป็นหลัก เมื่อเทียบกับส่วนทำระเหยและส่วนควบคุมนั้น เป็นส่วนที่มีการเปลี่ยนแปลงสถานะของสารทำงานมากกว่าการเคลื่อนที่



รูปที่ 1 ห้องความร้อนแบบสั่น (OHPs) 3 ชนิด

### 3. ทรุษฎีการถ่ายเทความร้อนของห้องความร้อนแบบสั่น (OHPs)

จากการวิจัยในอดีตให้สมมุติฐานในการศึกษาวิจัยว่า ความร้อนจากส่วนทำระเหยจะถ่ายเทความร้อนผ่านส่วนกันความร้อนมายังส่วนควบคุมโดยไม่มีการสูญเสียความร้อน เมื่อห้องความร้อนแบบสั่นทั้ง 3 ชนิดดังแสดงในรูปที่ 1 รับความร้อนจากแหล่งความร้อนโดยพื้นที่การรับความร้อนทั้งหมดของห้องความร้อนแบบสั่นคือส่วนทำระเหย

สารทำงานที่บรรจุอยู่ภายในห้องเกิดการเต็อต และเกิดการเคลื่อนที่ขึ้นภายในห้องแบบการสั่น (Oscillating) เมื่อสารทำงานภายในห้องเกิดการเต็อตสารทำงานจะเกิดการเปลี่ยนแปลงจากแท่งของเหลว (Liquid slug) สลับกับฟองไอ (Vapour) จะเกิดการเคลื่อนที่พาความร้อนจากส่วนทำระเหยไปยังส่วนควบคุม เมื่อสารทำงานภายในห้องที่เปลี่ยนสถานะจากก้อนของเหลวเป็นฟองไอ เคลื่อนที่ไปยังส่วนควบคุมและถ่ายเทความร้อนเป็นที่เรียบร้อย



พองไอของสารทำงานภายในห้องจะเกิดการควบแน่นและเปลี่ยนสถานะกล้ายเป็นของเหลวและไอลกัลน้ำมายังส่วนที่ระบุอีกครั้งด้วยแรงโน้มถ่วงของโลก (Gravity force) อัตราส่วนการถ่ายเทความร้อนที่เกิดจากปรากฏการณ์นี้สามารถอธิบาย ซึ่งคำนวณได้จากสมการที่ (2) [3], [6]

$$Q = m c_p (T_{out} - T_{in}) \quad (2)$$

$$q = \frac{Q}{\pi D_o L_c n} \quad (3)$$

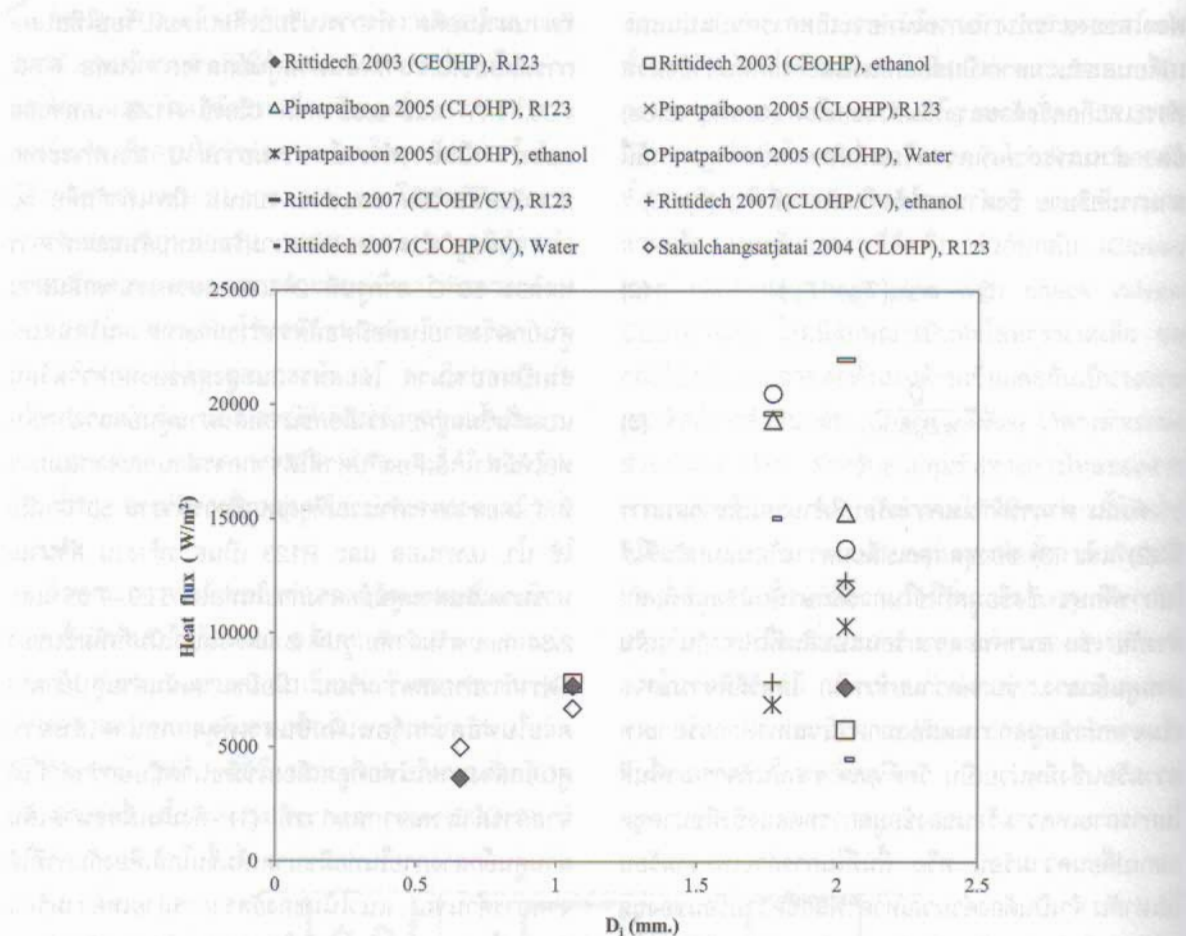
ดังนั้น ค่าการถ่ายเทความร้อนที่คำนวณได้จากสมการที่ (2) และ (3) ของชุดแลกเปลี่ยนความร้อนแบบลับที่ใช้ในการศึกษา ซึ่งข้อมูลที่ใช้ในการศึกษานั้นมีข้อมูลที่แตกต่างกัน เช่น ขนาดห้องความร้อนแบบลับที่ไม่เท่ากัน (เส้นผ่านศูนย์กลาง, ขนาดความยาวรวม) โดยวิธีพิจารณาจะเริ่มจากนำข้อมูลการทดลองมาคำนวณหาค่าการถ่ายเทความร้อนซึ่งมีหน่วยเป็น วัตต์ (W) จากนั้นพิจารณาพื้นที่ในการถ่ายเทความร้อนของข้อมูลการทดลองซึ่งมีขนาดชุดแลกเปลี่ยนความร้อน หรือ พื้นที่ในการถ่ายเทความร้อนไม่เท่ากัน จำเป็นต้องคำนหาค่าพลักร์ความร้อนของชุดทดลอง ซึ่งมีหน่วยเป็น วัตต์/ตารางเมตร ( $W/m^2$ ) เพื่อให้สามารถเปรียบเทียบคุณลักษณะการถ่ายเทความร้อนของห้องความร้อนแบบลับทั้งสามชนิดของแต่ละการทดลองได้โดยทำการอภิปรายผลในหัวข้อที่ 4

#### 4. อภิปรายผล

##### 4.1 ผลของเส้นผ่านศูนย์กลางภายในห้องที่ต่ออัตราการถ่ายเทความร้อนของห้องความร้อนแบบลับ (OHPs)

ปัจจัยที่มีอิทธิพลต่ออัตราการถ่ายเทความร้อนที่ถูกพิจารณาเป็นอันดับแรกคือ เส้นผ่านศูนย์กลางภายในห้อง ( $D$ ) เพราะเส้นผ่านศูนย์กลางภายในห้องของห้องความร้อนแบบลับ เป็นตัวแสดงให้เห็นถึงปรากฏการณ์ของสารทำงานภายในห้อง ดังแสดงในความล้มพันธ์จากสมการที่ 1 จากรูปที่ 2 แสดงผลของเส้นผ่านศูนย์กลางภายในห้องที่มีผลต่ออัตราการถ่ายเทความร้อนของห้องความร้อนแบบลับ ทำการเปรียบเทียบโดยนำผลการทดลองจากการวิจัย

ที่ผ่านมาในอดีต ทำการเปรียบเทียบโดยเปรียบเทียบผลการทดลองที่มีขนาดเส้นผ่านศูนย์กลางภายในห้อง 0.66, 1.06, 1.77 และ 2.03 mm เมื่อใช้ R123, เอทานอลและน้ำ เป็นสารทำงาน ความยาวส่วน ส่วนที่ระบุอุณหภูมิทำงานของห้องความร้อนแบบลับขณะทำการทดลอง 50°C จากรูปที่ 2 แสดงผลของขนาดเส้นผ่านศูนย์กลางภายในห้องที่มีต่ออัตราการถ่ายเทความร้อนแบบลับเป็นอย่างมาก โดยสมรรถนะสูงสุดของห้องความร้อนแบบลับขึ้นอยู่กับการเลือกขนาดเส้นผ่านศูนย์กลางภายในห้องที่ให้มีค่าใกล้เคียงกับค่าที่ได้จากการคำนวณที่อุณหภูมิการทำงาน 50°C เมื่อใช้ น้ำ, เอทานอล และ R123 เป็นสารทำงาน คำนวณขนาดเส้นผ่านศูนย์กลางภายในห้องที่ได้ 5.29, 7.65 และ 2.34 mm ตามลำดับ รูปที่ 2 แสดงแนวโน้มที่เพิ่มขึ้นของอัตราการถ่ายเทความร้อน เมื่อมีขนาดเส้นผ่านศูนย์กลางภายในห้องความร้อนเพิ่มขึ้นสาเหตุจากขนาดเส้นผ่านศูนย์กลางภายในห้องที่ถูกเลือกใช้มีขนาดน้อยกว่าค่าที่ได้จากการคำนวณจากสมการที่ (1) ดังนั้นมีขนาดเส้นผ่านศูนย์กลางภายในห้องมีขนาดเพิ่มขึ้นใกล้เคียงกับค่าที่ได้จากการคำนวณ แนวโน้มของอัตราการถ่ายเทความร้อน จึงเพิ่มขึ้นตาม พิจารณาเมื่อใช้ R123 เป็นสารทำงานห้องความร้อนแบบ CLOHP [10] มีค่าอัตราการถ่ายเทความร้อนสูงกว่าค่าอัตราการถ่ายเทความร้อนของห้องความร้อนแบบ CEOHP [3] ถึง 49.97%, ห้องความร้อนแบบลับชนิด CLOHP/CV [9] มีค่าอัตราการถ่ายเทความร้อนสูงกว่าห้องความร้อนแบบ CLOHP/CV ถึง 69.54% ซึ่งเป็นผลจากเส้นผ่านศูนย์กลางภายในห้อง และรูปแบบของการเคลื่อนที่ของสารทำงานภายในห้องขณะทำการแลกเปลี่ยนความร้อนกล่าวคือ ห้องความร้อนแบบ CEOHP จะมีรูปแบบการเคลื่อนของสารทำงานภายในห้องที่ไม่แน่นอน และต่อเนื่องมีการเคลื่อนที่ในช่วงเวลาล้านๆ ในส่วนของห้องความร้อนแบบลับชนิด CLOHP จะมีรูปแบบการเคลื่อนที่ๆ ต่อเนื่องเพิ่มมากขึ้น และห้องความร้อนแบบลับชนิด CLOHP/CV จะมีรูปแบบการเคลื่อนที่ๆ ต่อเนื่อง และมีทิศทางที่แน่นอนスマ่เสมอ จึงทำให้เกิดการถ่ายเทความร้อนอย่างต่อเนื่องตลอดเวลา



รูปที่ 2 ผลของเส้นผ่านศูนย์กลางภัยในห่อ (D) ที่มีต่ออัตราการถ่ายเทความร้อนของห่อความร้อนแบบลับล็อก 3 ชั้นดิ

#### 4.2 ผลของความยาวส่วนทำระเหย ( $L_e$ ) ที่มีต่ออัตราการถ่ายเทความร้อนของห่อความร้อนแบบลับ (OHPs)

การทดลองโดยปกติของห่อความร้อนแบบลับในอดีตที่ผ่านมาจะกำหนดความยาวของส่วนทำระเหย ( $L_e$ ) ส่วนกันความร้อน ( $L_g$ ) และส่วนควบแน่น ( $L_n$ ) ให้มีความยาวเท่ากันทั้งสามส่วนเพาะเจริญต่อการเปรียบเทียบและพิจารณา บทความนี้จึงได้มุ่งเน้นที่จะนำผลการทดลองที่ผ่านมาในอดีตโดยเปรียบเทียบความยาวของส่วนทำระเหย ( $L_e$ ) ที่ผลต่ออัตราการถ่ายเทความร้อนของห่อความร้อนแบบลับล็อก 3 ชั้นดิ รูปที่ 3 ได้ร่วบรวมข้อมูลจากงานวิจัยในอดีตที่มีการทดลองเปรียบเทียบในตัวแปรที่สนใจในการศึกษาคือ การทดลองห่อความร้อนแบบลับที่มีความยาวส่วนทำระเหย 50, 100 และ 150 mm โดยใช้ น้ำ,

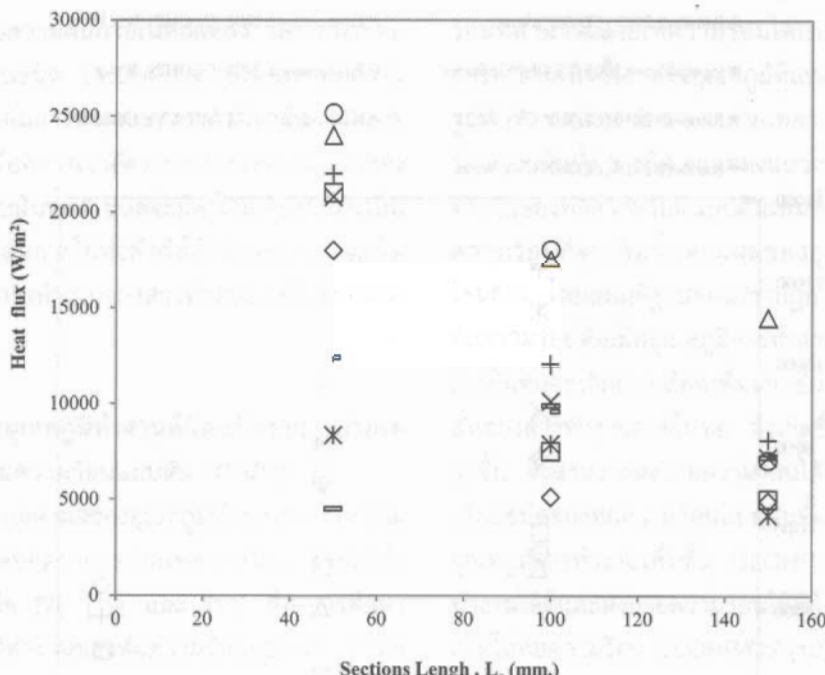
เอทานอล และ R123 เป็นสารทำงาน เส้นผ่านศูนย์กลางภัยในห่อที่ทำการทดลอง 2.03 mm อุณหภูมิทำงานของห่อความร้อนแบบลับ 60°C โดยผลการทดลองทั้งหมดได้จากการวิจัยในอดีตที่เป็นที่ยอมรับ [7], [9] และ [10] จากรูปที่ 3 แสดงผลจากการศึกษาเมื่อความยาวของส่วนทำระเหยเพิ่มขึ้นอัตราการถ่ายเทความร้อนจะมีค่าลดลงซึ่งเป็นผลจากความยาวของส่วนทำระเหยส่งผลต่อการเคลื่อนที่ของสารทำงานภายในห่อ จากแหล่งความร้อนไปยังแหล่งรับความร้อนมีระยะทางเพิ่มขึ้นจะทำให้การถ่ายเทความร้อนลดลงและยังมีโอกาสเกิดการสูญเสียความร้อน (Heat loss) ที่ส่วนกันความร้อนได้สูงเมื่อมีระยะทางในการส่งถ่ายความร้อนเพิ่มขึ้น ในทางตรงกันข้ามการถ่ายเทความร้อนที่เกิดจากการพาความร้อนของ

การทำงานภายใต้ในระยาทางที่ลัน ซึ่งสามารถถ่ายเทความร้อนได้อย่างรวดเร็วและเกิดการสูญเสียความร้อนเพียงเล็กน้อย ทำให้ความพยายามของส่วนที่มีระย

างลัน ให้ค่าอัตราการถ่ายเทความร้อนของท่อความร้อนแบบลันได้สูงกว่าส่วนที่มีระ夷 ที่มีระยาทางที่มีความยาวมากกว่า

- ◊ Katpradit 2005 (CEOHP) R123
- △ Katpradit 2005 (CEOHP), Water
- \* Pipatpaiboon 2005 (CLOHP), Ethanol
- + Rittidech 2007 (CLOHP/CV), R123
- Rittidech 2007 (CLOHP/CV), Water

- Katpradit 2005 (CEOHP), Ethanol
- × Pipatpaiboon 2005 (CLOHP), R123
- Pipatpaiboon 2005 (CLOHP), Water
- Rittidech 2007 (CLOHP/CV), Ethanol

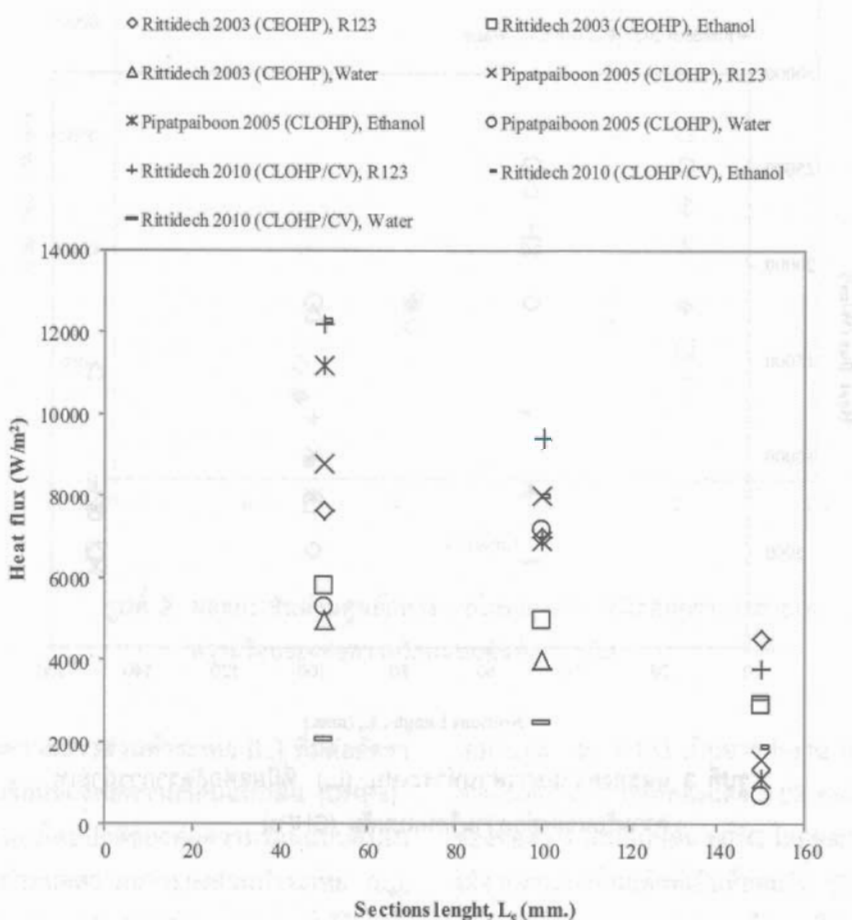


รูปที่ 3 ผลของความพยายามส่วนที่มีผลต่ออัตราการถ่ายเทความร้อนของท่อความร้อนแบบลัน (OHPs)

#### 4.3 คุณลักษณะการถ่ายเทความร้อนของห้องความร้อนแบบลับ (OHPs) ที่สภาวะการทำงานในแนวระดับ (Horizontal mode)

จากการศึกษางานวิจัยในอดีตที่ผ่านมาทำให้สรุปได้ว่า โดยทั่วไปห้องความร้อนแบบลับสามารถทำงานได้ดีที่สภาวะการทำงานในแนวตั้ง (Vertical mode) หมายถึง อัตราการถ่ายเทความร้อนของห้องความร้อนแบบลับจะเพิ่มขึ้นเมื่อมุ่งอุ่นเย็นการทำงานเพิ่มขึ้น เพราะการทำงาน

ภายในห้องมีอุ่นเย็นต่างกันแล้วเกิดการความแปรปรวนของพองไอกองสารทำงาน จะให้กลับไปยังส่วนที่ระบายได้อย่างรวดเร็วเมื่อมุ่งอุ่นเย็นการทำงานมีค่ามากหรืออยู่ในแนวตั้ง แต่เมื่อมุ่งอุ่นเย็นการทำงานของห้องความร้อนแบบลับ มีค่าลดลงหรืออุ่นเย็นเข้าใกล้แนวระดับ สารทำงานภายในห้องที่เป็นของเหลวที่เกิดการความแปรปรวนแล้วให้กลับไปยังส่วนที่ระบายจะเหลือได้ชั่วลง เป็นผลให้อัตราการถ่ายเทความร้อนลดลง



รูปที่ 4 อัตราการถ่ายเทความร้อนของห้องความร้อนแบบลับที่สภาวะการทำงานที่แนวระดับ (Horizontal mode)

คุณลักษณะการถ่ายเทความร้อนของห้องความร้อนแบบลับ ที่สภาวะการทำงานในแนวระดับแสดงในรูปที่ 4 โดยได้รวมผลการวิจัยในอดีตที่ผ่านมาเป็นที่ยอมรับ [3], [8] และ [10] ที่ทำการทดลองในเงื่อนไขการทดลองที่ต้องการศึกษานำมาเปรียบเทียบ โดยตัวแปร

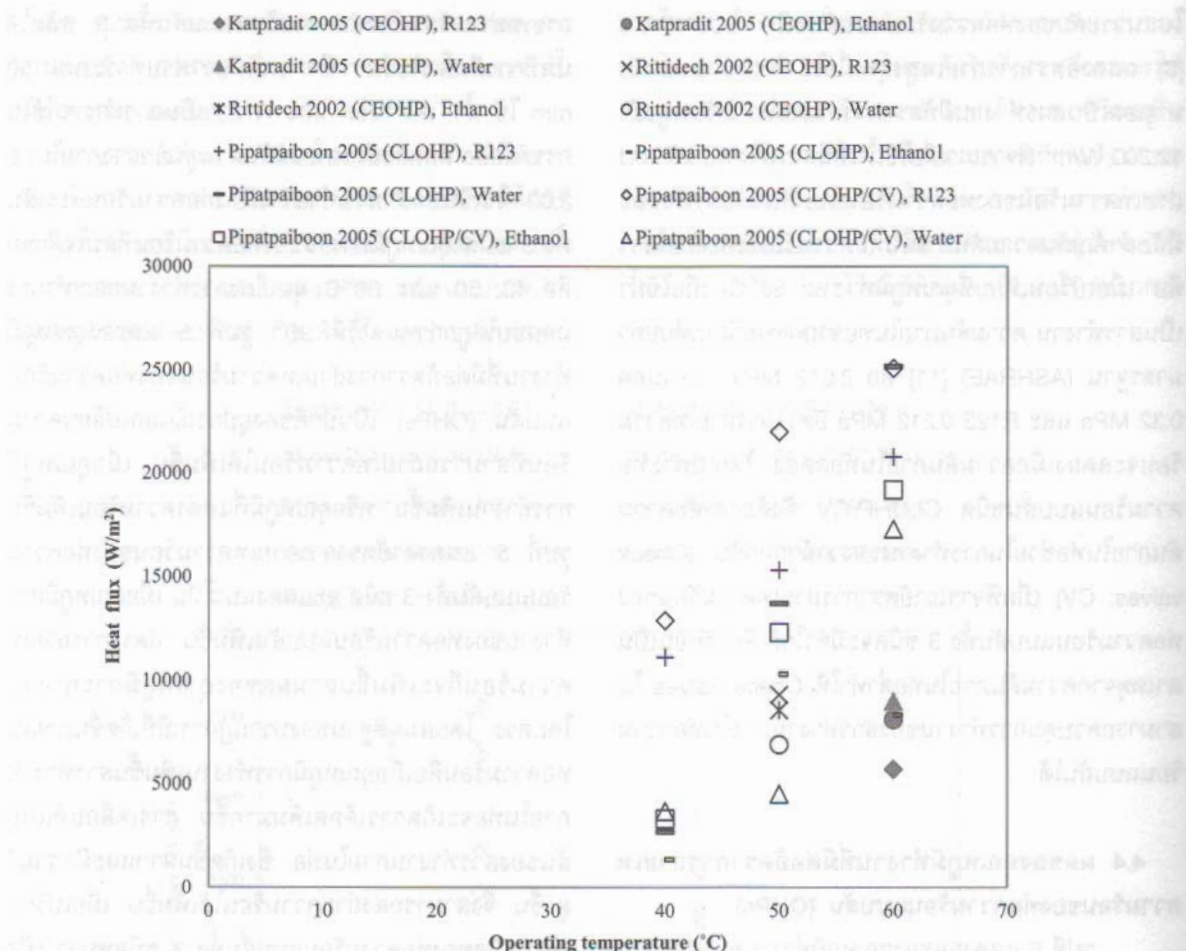
ที่สนใจและนำมาเปรียบเทียบกันคือ ความยาวส่วนที่ระบาย 50, 100 และ 150 mm ใช้ น้ำ, เอทานอล และ R123 เป็นสารทำงาน ใช้ห้องเดงขนาดเล็กกว่าศูนย์กลางภายในห้อง 2.03 mm อุณหภูมิทำงาน 50°C และมุ่งอุ่นเย็นทำงานที่ 0° ที่สภาวะการทำงาน

ในแนวระดับของท่อความร้อนแบบสั้นชนิด CLOHP/CV [8] แสดงอัตราการถ่ายเทสูงสุดเมื่อใช้ R123 และ เอทานอลเป็นสารทำงานมีอัตราการถ่ายเทความร้อนสูงถึง  $12,200 \text{ W/m}^2$  พิจารณาเมื่อใช้น้ำเป็นสารทำงานอัตราการถ่ายเทความร้อนของท่อความร้อนแบบสั้นกลับลดลงและ มีนัยสำคัญกับความดันภายในท่อความร้อนแบบสั้นกลับล่าวยิ่ง เมื่อเปรียบเทียบที่อุณหภูมิทำงาน  $50^\circ\text{C}$  เมื่อใช้น้ำ เป็นสารทำงาน ความดันภายในท่อจากการเปรียบเทียบค่า มาตรฐาน (ASHRAE) [11] คือ  $0.012 \text{ MPa}$ , เอทานอล  $0.32 \text{ MPa}$  และ R123  $0.212 \text{ MPa}$  อัตราการถ่ายเทความร้อนจะลดลงเมื่อความดันภายในท่อลดลง โดยเฉพาะท่อความร้อนแบบสั้นชนิด CLOHP/CV ซึ่งต้องอาศัยความดันภายในท่อช่วยในการทำงานของวาล์วกันกลับ (Check valves; CV) เมื่อพิจารณาอัตราการถ่ายเทความร้อนของท่อความร้อนแบบสั้นทั้ง 3 ชนิดจะมีค่าใกล้เคียงกันอันเป็นสาเหตุจากความดันภายในท่อต่ำทำให้ Check valves ไม่สามารถควบคุมการทำงานของสารทำงานภายในท่อความร้อนแบบสั้นได้

#### 4.4 ผลของอุณหภูมิทำงานที่มีต่ออัตราการถ่ายเทความร้อนของท่อความร้อนแบบสั้น (OHPs)

รูปที่ 5 แสดงผลของอุณหภูมิทำงานของท่อความร้อนแบบสั้นที่มีต่ออัตราการถ่ายเทความร้อน โดยได้นำผลการวิจัยในอดีต [7], [10] และ [11] ที่ทำการศึกษาเกี่ยวกับอุณหภูมิทำงานของท่อความร้อนแบบสั้น นำมารวบรวม และเปรียบเทียบคุณลักษณะการถ่ายเทความร้อนของท่อความร้อนแบบสั้นทั้ง 3 ชนิด มาเปรียบเทียบผลของอุณหภูมิการทำงาน ที่มีต่ออัตราการถ่ายเทความร้อนของท่อความร้อนแบบสั้นทั้ง 3 ชนิด อุณหภูมิทำงานของอุปกรณ์แลกเปลี่ยนความร้อน ที่นำมาอ้างอิงหมายถึง (อุณหภูมิส่วนที่ระบาย+อุณหภูมิของส่วนควบแน่น)/2 [12], [13] โดยงานวิจัยในอดีต การศึกษาและสามารถนำมาเปรียบเทียบผลของอุณหภูมิทำงานที่มีต่ออัตราการ

ถ่ายเทความร้อนของท่อความร้อนแบบสั้นทั้ง 3 ชนิดได้นั้นมีการศึกษาตัวแปร คือ ความยาวส่วนที่ระบาย  $50 \text{ mm}$  ใช้น้ำ, เอทานอล และ R123 เป็นสารทำงานใช้ในการทดลอง ท่อห้องแดงขนาดเส้นผ่านศูนย์กลางภายในท่อ 2.03 ใช้เป็นท่อสำหรับทำสร้างเป็นท่อความร้อนแบบสั้นทั้ง 3 ชนิด อุณหภูมิทำงานของท่อความร้อนที่สนใจศึกษา คือ  $40, 50$  และ  $60^\circ\text{C}$  มุมเอียงการทำงานขณะทำการทดสอบได้ถูกกำหนดไว้ที่  $90^\circ$  รูปที่ 5 ผลของอุณหภูมิการทำงานที่มีต่ออัตราการถ่ายเทความร้อนของท่อความร้อนแบบสั้น (OHPs) เป็นปกติของอุปกรณ์แลกเปลี่ยนความร้อนที่สามารถถ่ายเทความร้อนได้เพิ่มขึ้น เมื่ออุณหภูมิการทำงานเพิ่มขึ้น หรืออุณหภูมิที่เหลลงความร้อนเพิ่มขึ้น รูปที่ 5 แสดงค่าอัตราการถ่ายเทความร้อนของท่อความร้อนแบบสั้นทั้ง 3 ชนิด จะแสดงแนวโน้ม เมื่ออุณหภูมิการทำงานของท่อความร้อนแบบสั้นเพิ่มขึ้น อัตราการถ่ายเทความร้อนก็จะเพิ่มขึ้นตามผลของอุณหภูมิการทำงานโดยตรง โดยสมมุตฐานของปรากฏการณ์ที่เกิดขึ้นภายใต้ท่อความร้อนคือเมื่ออุณหภูมิการทำงานเพิ่มขึ้นสารทำงานภายในท่อจะเกิดการเดือดเพิ่มมากขึ้น การเคลื่อนที่แบบสั้นของสารทำงานภายในท่อ ซึ่งเกิดขึ้นมากและมีความถี่สูงขึ้น จึงสามารถส่งถ่ายความร้อนได้เพิ่มขึ้น เมื่อเปรียบเทียบชนิดของท่อความร้อนแบบสั้นทั้ง 3 ชนิดพบว่า เมื่ออุณหภูมิการทำงานเพิ่มขึ้น CLOHP/CV [10] สามารถทำงานได้ดีและส่งถ่ายความร้อนได้ดีที่สุด เพราะความดันภายในท่อความร้อน CLOHP/CV [10] เพิ่มขึ้นการทำงานของวาล์วกันกลับ จะสามารถทำงานได้ดีและควบคุมทิศทางการไหลได้อย่างต่อเนื่อง CLOHP/CV แสดงอัตราการถ่ายเทความร้อนสูงสุดเมื่อใช้ R123 เป็นสารทำงานที่อุณหภูมิทำงาน  $60^\circ\text{C}$  โดยสามารถส่งถ่ายความร้อนได้สูงถึง  $25,080 \text{ W/m}^2$  และ CLOHP [10] แสดงค่าการถ่ายเทความร้อนต่ำสุดเมื่อใช้ เอทานอล เป็นสารทำงานที่อุณหภูมิทำงาน  $40^\circ\text{C}$  สามารถส่งถ่ายความร้อนได้เพียง  $1,340 \text{ W/m}^2$



รูปที่ 5 แสดงผลของอุณหภูมิทำงานของท่อความร้อนแบบลั่นที่มีต่ออัตราการถ่ายเทความร้อน

## 5. สรุปผลการศึกษา

จากการศึกษา ข้อมูลผลการวิจัยในอดีตที่ผ่านมา นำมาเปรียบเทียบสามารถสรุปคุณลักษณะการถ่ายเทความร้อนของท่อความร้อนแบบลั่น (OHPs) ทั้ง 3 ชนิด เพื่อเป็นแนวทางในการเลือกใช้งานท่อความร้อนแบบลั่น ทั้ง 3 ชนิดให้เหมาะสมกับการใช้งานในอนาคต

- การเลือกใช้ขนาดเส้นผ่าศูนย์กลางภายในท่อความร้อนแบบลั่นควรมีค่าใกล้เคียงกับขนาดท่อที่คำนวณได้จากสมการ (1) ซึ่งจะส่งผลต่อการคงอยู่ของสารทำงานภายในท่อในรูปแบบแห้งของเหลว สลับกับฟองไอ และรูปแบบการเคลื่อนที่แบบลั่นของสารทำงานภายในท่อขณะทำงาน และให้อัตราการถ่ายเทความร้อนสูงสุด

- ความยาวของส่วนทำระเหย ( $L_o$ ) อีกนัยหนึ่งหมายถึงความยาวของส่วนกันความร้อน ( $L_a$ ) และ ส่วนความแน่น ( $L_c$ ) ด้วยนั้น เมื่อมีขนาดความยาวลั่นลงอัตราการถ่ายเทความร้อนจะเพิ่มขึ้น อันเป็นสาเหตุจากระยะทางในการถ่ายเทความร้อนลั่นลง จึงสามารถถ่ายเทความร้อนได้อย่างรวดเร็ว และ เกิดการสูญเสียน้อยระหว่างการถ่ายเทความร้อน ที่มีระยะทางในการถ่ายเทความร้อนที่ยาวกว่า
- ที่สภาวะการทำงานของท่อความร้อนแบบลั่นในแนวระดับ (Horizontal mode) หรือตำแหน่งการทำงานที่มีมุ่งเมืองการทำงานน้อยหรือใกล้เคียงกับแนวระดับ ควรเลือกใช้ท่อความร้อนแบบลั่นชนิด CLOHP/CV ใช้งาน ซึ่งสามารถส่งถ่ายความร้อน

- ได้ดีและเหมาะสมต่อการใช้งานมากกว่าท่อความร้อนแบบสั้นชนิดอื่นๆ
- อุณหภูมิการทำงานของท่อความร้อนแบบสั้น (OHPs) ที่เพิ่มขึ้นจะส่งผลต่ออัตราการถ่ายเทขายความร้อนให้เพิ่มขึ้นในทุกชนิดท่อความร้อนแบบสั้น การเลือกใช้ท่อความร้อนสามารถเลือกใช้งานท่อได้ทุกชนิด แต่ท่อที่ให้อัตราการถ่ายเทขายความร้อนสูงสุดคือท่อความร้อนแบบสั้นชนิด CLOHP/CV การเลือกใช้สารทำงานให้เหมาะสมกับท่อควรพิจารณาจากอุณหภูมิทำงานของท่อความร้อนแบบสั้น คือ ผลกระทบของอุณหภูมิของส่วนทำเรhey และอุณหภูมิของส่วนควบคุมหารด้วยสอง เมื่อได้อุณหภูมิทำงานแล้ว พิจารณาเลือกสารทำงานจากช่วงอุณหภูมิทำงานของสารทำงานที่ครอบคลุมอุณหภูมิทำงานของท่อความร้อนแบบสั้นที่คำนวณได้ จึงจะทำให้ประสิทธิภาพในการถ่ายเทขายความร้อนของท่อความร้อนแบบสั้นมีประสิทธิภาพสูงสุด และเหมาะสมกับการทำงานนั้นๆ
  - การใช้งานท่อความร้อนแบบสั้นเหมาะสมกับอุปกรณ์ที่มีขนาดเล็ก และพื้นที่การทำงานจำกัด เช่นท่อความร้อนแบบอีดิไปปี หรือ เทอร์โมไชฟอน น้ำมีขนาดใหญ่และไม่เหมาะสม แต่ในทางตรงกันข้าม อีดิไปปี หรือ เทอร์โมไชฟอน น้ำซึ่ดคือราคากูก สร้างและใช้งานง่าย
  - การใช้งานท่อความร้อนแบบสั้นเหมาะสมกับอุปกรณ์ที่มีขนาดเล็ก และพื้นที่การทำงานจำกัด

## 6. รายการสัญลักษณ์

$C_p$	ค่าความร้อนเฉพาะของสาร	J/kg. $^{\circ}$ C
$D_l$	เส้นผ่านศูนย์กลางภายในของท่อทดสอบ	mm
$D_{lm}$	เส้นผ่านศูนย์กลางภายในของท่อเล็กที่สุดที่ได้จากการคำนวณ	mm
$D_o$	เส้นผ่านศูนย์กลางภายนอกของท่อทดสอบ	mm
$g$	ความเร่งเนื่องแรงโน้มถ่วง	m/s <sup>2</sup>
$L$	ความยาว	m
$L_s$	ความยาวส่วนทำเรhey	mm
$L_a$	ความยาวส่วนกันความร้อน	mm

$L$	ความยาวส่วนควบคุมແน่น	mm
$m$	อัตราการไหลเชิงมวล	kg/s
$n$	จำนวนวงรอบของท่อความร้อน	-
$\Delta P$	ความแตกต่างของความดันในแนวแกนของท่อความร้อน	Pa
$\Delta P'$	ความแตกต่างของความดันในแนวรัศมีของท่อความร้อน	Pa
$Q$	ค่าการถ่ายเทขายความร้อน	W
$q$	ค่าฟลักซ์การถ่ายเทขายความร้อน	W/m <sup>2</sup>
$T_{in}$	อุณหภูมิขาเข้าที่ส่วนควบคุมແน่น	°C
$T_{out}$	อุณหภูมิขาออกที่ส่วนควบคุมແน่น	°C
$T_{evap}$	อุณหภูมิที่ส่วนทำเรhey	°C
$T_{cont}$	อุณหภูมิที่ส่วนควบคุมແน่น	°C
$\rho$	ความหนาแน่น	kg/m <sup>3</sup>
$\sigma$	แรงตึงผิว	N/m

## 7. กิตติกรรมประกาศ

งานวิจัยนี้ได้รับการสนับสนุนจาก ห้องวิจัยระบบทางความร้อน คณะอุตสาหกรรมและเทคโนโลยี มหาวิทยาลัยเทคโนโลยีราชมงคลล้านนา วิทยาเขตสกลนคร ตำบลพังโคน อำเภอพังโคน จังหวัดสกลนคร 47160 และห้องวิจัยท่อความร้อนและออกแบบเครื่องมือทางความร้อน คณะวิศวกรรมศาสตร์ มหาวิทยาลัยมหาสารคาม ตำบลชุมเรียง อำเภอ กันทรลวชัย จังหวัดมหาสารคาม 44150

## 8. เอกสารอ้างอิง

1. Hirunlabh, J., Chantawong, P., and Khedari, J., 2000, "A simple-low cost solar water heater for Thailand", *KMUTT Research and Development Journal*, Vol. 23, pp. 109-120 (In Thai).
2. Akachi, H., Polasek, F., Stulc, P., 1996, "Pulsating heat pipes", *Proceedings of the Fifth International Heat Pipe Symposium*, Melbourne, Australia, pp.208–217. ISBN 0-08-042842-8.
3. Rittidech S., Terdtoon P., Murakami M., Kamonpet P., Jompakdee W., 2003, "Correlation to Predict Heat Transfer Characteristics of a Close-End Oscillating Heat Pipe at Normal Operating

- Condition". *Applied Thermal Engineering*, vol. 23, No. 4, pp. 497-510.
4. Karimi G., Culham J.R., 2004, "Review and Assessment of Pulsating Heat Pipe Mechanism for High Heat Flux Electronic Cooling", *Inter Society Conference on Thermal Phenomena*, pp. 52-58.
  5. Sakulchangsatjatai P., Terdtoon, P., Wongratanaphisan, T., Kamonpet, P., and Murakami M., 2004, "Operation modeling of closed-end and closed-loop oscillating heat pipes at normal operating condition", *Applied Thermal Engineering*, Vol. 24, No. 7, pp. 995-1008.
  6. Paramatthanuwat, T., Boothaisong, S., Rittidech, S., and Booddachan, K., 2010, "Heat Transfer Characteristics of a Phase Closed Thermosyphon Using De Ionized Water Mixed with Silver Nano", *Heat Mass Transfer*, Vol. 46, pp 281-285.
  7. Katpradit, T., Wongratanaphisan, P., Terdtoon, P., Kamonpet, P., Polchai A., and Akbarzadech, A., 2005, "Correlation to predict heat transfer characteristics of a closed end oscillating heat pipe critical state", *Applied Thermal Engineering*, Vol. 25, No. 14-15, pp. 2138-2151.
  8. Rittidech, S., Pipatpaiboon, N., and Thongdaeng, S., 2010, "Thermal performance of horizontal closed-loop oscillating heat-pipe with check valves", *Journal of Mechanical Science and Technology*, Vol. 24 No.2, pp. 545-550.
  9. Rittidech, S., Pipatpaiboon, N., and Terdtoon, P., 2007, "Heat transfer characteristics of a closed-loop oscillating heat-pipe with check valves", *Applied Energy*, Vol. 84, No. 5, pp. 565-577.
  10. Pipatpaiboon, N., 2005, Correlation for predicting heat transfer of a closed-looped oscillating heat-pipe with check valves (CLOHP/CVs), Master thesis, Energy Technology, Faculty of Engineering of Mahasarakham University. (In Thai)
  11. Rittidech, S., 2002, Heat transfer characteristics of closed-end oascillating heat pipe. Doctor of philosophy in mechanical engineering thesis, Graduate School Chiang Mai University. (In Thai)
  12. Parsons, R., 1993, ASHRAE, Fundamentals Handbook: SI Edition.
  13. Yunus, A. C., 2004, Heat Transfer A Practical Approach, Second Edition In SI Units, McGraw-Hill.